

Fig. 103. Epidot. Prismatisch. $a \{100\}$; $c \{001\}$; $o \{111\}$; $r \{101\}$.

Fig. 104. Realgar. Prismatisch. $b \{010\}$; $c \{001\}$; $o \{111\}$; $p \{110\}$; $f \{210\}$; $n \{011\}$.

Fig. 105. Kupfersulfattrihydrat. Domatisch. $p \{110\}$; $p' \{1\bar{1}0\}$; $o \{111\}$; $s \{111\}$; $r \{02\bar{1}\}$.

Fig. 106. Milhzucker. Sphenoidisch. $a \{100\}$; $b \{010\}$; $b' \{0\bar{1}0\}$; $p \{110\}$; $p' \{1\bar{1}0\}$; $q' \{0\bar{1}1\}$. p , p' und q' sind Sphenoide.

Fig. 107. Stereographische Projektion der Fig. 102.

Rhombisches System.

Fig. 108 gibt den Urbauteil, die Achsenausstiche und die Hauptzonen wieder. A (100), B (010), C (001). Ausstich von a in a , von b in b , von c in c ; 1 in Zone der Achse a , 2 in Zone der Achse b , 3 in Zone der Achse c , 4 beliebig.

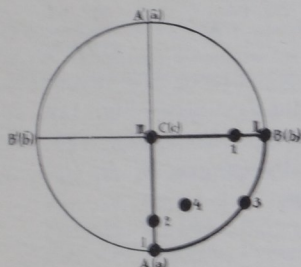


Fig. 108. Urbauteil des rhombischen Systems.

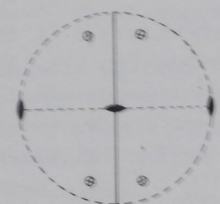


Fig. 109. Erzeugende Symmetrie der rhombisch-bipyramidalen Klasse ($2m$).

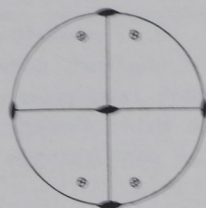


Fig. 110. Allgemeines rhombisch-bipyramidales Bauschema.

I. Bipyramidale Klasse. 5. Stufe. Erzeugende Symmetrie $2m$ (digyrisch prismatisch) Fig. 109. Volle Symmetrie Fig. 110. Entsprechend Fig. 110 sind die sieben Gestaltstypen aus den sieben Punktlagen A , B , C , 1 , 2 , 3 , 4 des Urbauteils der Fig. 108 abzuleiten.

a) Flächen zwei Achsen parallel.

A. Erstes Pinakoid $\{100\}$. Fig. 111.

B. Zweites Pinakoid $\{010\}$. Fig. 112.

C. Drittes Pinakoid $\{001\}$. Fig. 113.

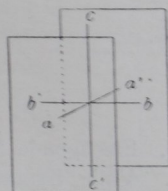


Fig. 111. I. Pinakoid.

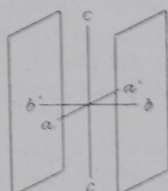


Fig. 112. II. Pinakoid.

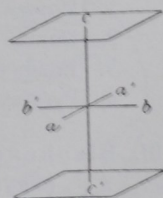


Fig. 113. III. Pinakoid.